

УДК 535.343.2

© 1992

## ОСНОВНОЕ ЭКСИТОННОЕ СОСТОЯНИЕ И ДИАМАГНИТНЫЙ СДВИГ В ПЛЕНКЕ КРИСТАЛЛА MoS<sub>2</sub>

В. И. Бойчук, Н. И. Стасив

Найдены волновые функции и энергии основного состояния экситона серий A и B кристалла MoS<sub>2</sub> при  $L \geq 10 \text{ \AA}$ . Для обеих экситонных серий получена зависимость диамагнитного сдвига от толщины пленки.

В последнее время появилось немало теоретических работ, где изучаются экситонные состояния в полупроводниковых пленках и квантовых ямах гетероструктур [1-5]. Важное место среди этих работ занимают исследования, посвященные изучению энергетического спектра экситонов в пленках с толщиной  $L$  порядка экситонного боровского радиуса  $a_0 = \epsilon \hbar^2 / \mu e^2$ .

Келдыш [1] показал, что энергия взаимодействия электрона и дырки в очень тонкой пленке ( $L \ll a_0$ ) может существенно отличаться от обычной кулоновской, и как следствие получено значительное увеличение энергии связи экситона. Последняя вычислялась для конкретных значений  $L$  пленки некоторых кристаллов Андрюшиным и Силиным в [2] для логарифмического характера электрон-дырочного взаимодействия.

Изменение энергии связи экситона с толщиной возможно также и для  $L \geq a_0$ , когда взаимодействие электрона и дырки в хорошем приближении можно считать кулоновским. В работах [4, 5] с помощью вариационного метода проведен расчет зависимости энергии экситона от толщины пленок. Полученные результаты качественно согласуются с экспериментальными данными.

Одним из недостатков имеющихся теоретических работ является то, что в них рассматриваются изотропные модели полупроводников, тогда как измерения проводятся в основном на пленках слоистых кристаллов [6-8]. Поэтому нет возможности делать качественные сопоставления результатов теории с данными эксперимента.

В данной работе на примере кристалла MoS<sub>2</sub> проводится расчет энергии, волновой функции и диамагнитного сдвига основного состояния экситона тонкой пленки анизотропного полупроводника.

### 1. Постановка задачи. Общие формулы

Рассматривается пленка анизотропного слоистого кристалла в области пространства  $0 \leq z \leq L$ , когда ось  $C$  кристалла совпадает с координатной осью  $OZ$ . Гамильтониан системы электрон—дырка в ней представится выражением

$$\hat{H} = -\frac{\hbar^2}{2m_e} \frac{\partial^2}{\partial z_e^2} - \frac{\hbar^2}{2m_h} \frac{\partial^2}{\partial z_h^2} - \frac{\hbar^2}{2\mu_{||}} \left( \frac{\partial^2}{\partial p^2} + \frac{1}{\rho} \frac{\partial}{\partial \rho} \right) + \frac{\hat{P}^2}{2m_{\perp}} + W_{\text{int}}(\rho, z_e, z_h), \quad (1)$$

где

$$m_{\perp} = m_{\perp}^e + m_{\perp}^h, \quad \frac{1}{\mu_{\perp}} = \frac{1}{\mu_{\perp}^e} + \frac{1}{\mu_{\perp}^h}, \quad \rho = \sqrt{(x_e - x_h)^2 + (y_e - y_h)^2},$$

$$\hat{P} = -i\hbar\nabla_{R_{\perp}}, \quad R = \frac{m_{\perp}^e p_e + m_{\perp}^h p_h}{m_{\perp}}, \quad p_e = x_e i + y_e j, \quad p_h = x_h i + y_h j,$$

$W_{\text{int}}$  — энергия взаимодействия частиц между собой и с поверхностями пленки. Так как предполагается рассматривать пленки с  $L \geq a_0$ , то взаимодействие между электроном и дыркой считается кулоновским, а взаимодействие частиц с поверхностями пленки представлено с помощью бесконечной прямоугольной потенциальной ямы. Тогда

$$W_{\text{int}} = \begin{cases} \infty, & z_{e,h} = 0; L, \\ -e^2 [\varepsilon_{\parallel} \varepsilon_{\perp} p^2 + \varepsilon_{\perp}^2 (z_e - z_h)^2]^{-1/2}, & 0 < z_{e,h} < L. \end{cases} \quad (2)$$

Уравнение Шредингера с гамильтонианом (1), (2) решалось с помощью прямого вариационного метода. Пробная волновая функция выбиралась в виде

$$\Psi(R_{\perp}, \rho, z_e, z_h) = \frac{A}{\sqrt{S}} \sin\left(\frac{\pi}{L} z_e\right) \sin\left(\frac{\pi}{L} z_h\right) \exp\{-[\alpha^2 \rho^2 + \beta^2 (z_e - z_h)^2]^{1/2}\}. \quad (3)$$

Энергию экситона можно определить из минимума выражения  $\mathcal{J}(\alpha, \beta) = \langle \Psi | \hat{H} | \Psi \rangle$  при условии  $\langle \Psi | \Psi \rangle = 1$ . После несложных преобразований коэффициент  $A$  и  $\mathcal{J}(\alpha, \beta)$  представляются следующими формулами:

$$A^2 = \frac{\alpha^2}{\pi(F_1 + 2\beta F_2)}, \quad (4)$$

$$\mathcal{J}(\alpha, \beta) = \frac{\hbar^2 k^2}{2m_{\perp}} + \frac{\hbar^2 \pi^2}{2\mu_{\parallel} L^2} + F(\alpha, \beta, L) \equiv E_e + F(\alpha, \beta, L), \quad (5)$$

$$F(\alpha, \beta, L) = \frac{2\alpha^2}{F_1 + 2\beta F_2} \left[ \frac{\hbar^2}{2\mu_{\perp}} \left( \frac{1}{2} F_1 + \beta F_2 \right) - \frac{\hbar^2}{2\mu_{\perp}} \beta^2 F_0 + \frac{\hbar^2}{2\mu_{\parallel}} \left( \frac{\beta^2}{\alpha^2} F_1 - \frac{2\beta^3}{\alpha^2} F_2 \right) + \frac{\hbar^2}{2\mu_{\parallel}} \frac{\beta^4}{\alpha^2} F_0 + \frac{\hbar^2}{2\mu_{\parallel}} \frac{\beta^2}{\alpha^2} \frac{\pi}{L} F_7 \right] - \frac{4\alpha^2}{F_1 + 2\beta F_2} F_8, \quad (6)$$

$$F_0 = \int_0^L dz_e \sin^2\left(\frac{\pi}{L} z_e\right) \int_0^L dz_h \sin^2\left(\frac{\pi}{L} z_h\right) (z_e - z_h)^2 \int_{|z_e - z_h|}^{\infty} dt (te^{2t})^{-1},$$

$$F_n = \int_0^L dz_e \sin^2\left(\frac{\pi}{L} z_e\right) \int_0^{z_e} dz_h \sin^2\left(\frac{\pi}{L} z_h\right) (z_e - z_h)^{n-1} e^{-2\beta(z_e - z_h)}, \quad n = 1, 2,$$

$$F_7 = \int_0^L dz_e \sin\left(\frac{\pi}{L} z_e\right) \int_0^{z_e} dz_h \sin\left(\frac{\pi}{L} z_h\right) \sin \frac{\pi}{L} (z_e - z_h) e^{-2\beta(z_e - z_h)},$$

$$F_8 = \int_0^L dz_e \sin^2\left(\frac{\pi}{L} z_e\right) \int_0^L dz_h \sin^2\left(\frac{\pi}{L} z_h\right) \times \\ \times \int_0^{\infty} dp \frac{pe^{-2\sqrt{\alpha^2 p^2 + \beta^2 (z_e - z_h)^2}}}{\sqrt{\varepsilon_{\parallel} \varepsilon_{\perp} p^2 + \varepsilon_{\perp}^2 (z_e - z_h)^2}}. \quad (7)$$

Функции  $F_1, F_2, F_7$  определяются в аналитическом, хотя и громоздком, виде, а  $F_0$  и  $F_8$  вычисляются на ЭВМ.

Энергия образования экситона в наших обозначениях определяется выражением

$$E = E_g + E_e + E_i, \quad (8)$$

где  $E_g$  — ширина запрещенной зоны полупроводника,  $E_i = \min F(\alpha, \beta, L)$  определяет энергию «внутреннего» движения экситона, тогда энергия связи экситона равна  $|E_i|$ .

## 2. Анализ численных расчетов

Конкретные расчеты проведены для обеих экситонных серий ( $A, B$ ) пленки кристалла  $\text{MoS}_2$ . Из условия минимума функции  $F(\alpha, \beta)$  при различных значениях  $L$  определены  $\alpha_{\min}^{A, B}$  и  $\beta_{\min}^{A, B}$ .

На рис. 1 приведены зависимости безразмерных параметров  $\tilde{\alpha}^{A, B} = \alpha_{\min}^{A, B} \alpha_{\parallel}$ ,  $\tilde{\beta}^{A, B} = \beta_{\min}^{A, B} \alpha_{\parallel}$  ( $\alpha_{\parallel} = \epsilon_{\parallel} \hbar^2 / (\mu_{\parallel} e^2)$ ) от безразмерной толщины пленки  $\tilde{L} = L/a_{\parallel}$ . Как видно из этого рисунка, в области малых  $\tilde{L}$  ( $\tilde{L} < 1$ ) все вариационные параметры возрастают с уменьшением толщины. Для  $\tilde{L} > 1$  характер зависимости  $\tilde{\alpha}^{A, B}$  и  $\tilde{\beta}^{A, B}$  более сложный. Все рассматриваемые параметры достигают своих минимальных значений, а при больших  $\tilde{L}$  вообще не зависят от толщины.

Используя полученные графики, легко определить волновую функцию экситона для произвольной толщины. В частности, для серии  $A$  при  $L \geq 400 \text{ \AA}$ , а для серии  $B$  при  $L \geq 30 \text{ \AA}$  волновые функции экситона пленки практически совпадают с соответствующими функциями массивного кристалла. На основе имеющихся зависимостей легко определить также средние значения расстояния между электроном и дыркой в различных направлениях. Расчеты показывают, что  $\bar{l}_z = \sqrt{\langle (z_e - z_h)^2 \rangle}$  стремится к нулю при  $L \rightarrow 0$ , а  $\bar{l}_{x, y} = \sqrt{\langle (x_e - x_h)^2 \rangle} = \sqrt{\langle (y_e - y_h)^2 \rangle}$  для малых  $L$  принимает конечные значения ( $\bar{l}_{x, y}^A = 16.3, \bar{l}_{x, y}^B = 5.7 \text{ \AA}$ ). В области больших  $L$  все указанные величины выходят на насыщение:  $\bar{l}_z^A = 9.5, \bar{l}_{x, y}^A = 28.4, \bar{l}_z^B = 10.4, \bar{l}_{x, y}^B = 16.2 \text{ \AA}$ . Интересно сравнить эти результаты с аналогичными данными работы [6]:  $r_z^A = 23.6, r_{x, y}^A = 37.18, r_z^B = 8.13, r_{x, y}^B = 12.82 \text{ \AA}$ . Отметим также, что характер зависимости  $\bar{l}_z$  и  $\bar{l}_{x, y}$  от  $L$  в области малых толщин качественно отличается от соответствующего поведения вариационных параметров. Данный результат свидетельствует о том, что для малых  $\tilde{L}$  при определении среднего расстояния между частицами существенную роль играет синусоидальная часть волновой функции (3), а параметры  $\alpha$  и  $\beta$  не определяют наиболее вероятного расстояния между электроном и дыркой экситона, как в случае бесконечного кристалла.

Энергия образования экситонов серий  $A$  и  $B$  определялась, как уже отмечалось, по формуле (8). На рис. 2 представлены графики  $E^A(L)$  и  $E^B(L)$  в области  $10 \text{ \AA} \leq L \leq 100 \text{ \AA}$ . Видно, что уменьшение толщины пленки ведет к увеличению энергии экситонов. «Скорость» же изменения  $E^B$  больше, чем  $E^A$ , поэтому в процессе  $L \rightarrow 0$  «расстояние» между экситонными пиками ( $E^B - E^A$ ) увеличивается, что и наблюдалось в [6, 8] на возбужденных состояниях экситона.

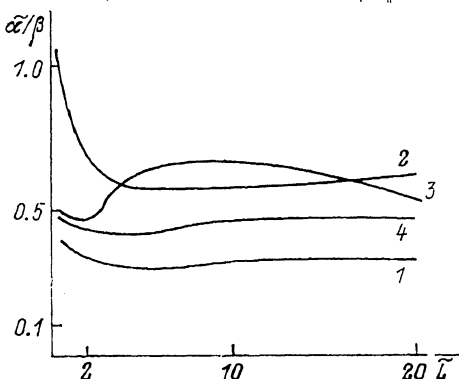


Рис. 1. Зависимости вариационных параметров  $\tilde{\alpha}^A$  (1),  $\tilde{\alpha}^B$  (2),  $\tilde{\beta}^A$  (3),  $\tilde{\beta}^B$  (4) от безразмерной толщины пленки  $\tilde{L}$ .

Проведенные расчеты дают возможность исследовать также влияние магнитного поля на экситонный спектр пленки MoS<sub>2</sub>. Рассматривается случай, когда однородное магнитное поле параллельно оси *C* кристалла ( $\mathbf{H} \parallel \mathbf{C}$ ). В случае слабых полей вклад в энергию экситона можно представить выражением [9]

$$\Delta E = \frac{e^2}{8\mu_\perp c^2} H^2 \langle \rho^2 \rangle \equiv SH^2, \quad (9)$$

где *S* — коэффициент диамагнитного сдвига.

Для пленки *S* является функцией толщины пленки. Как следует из рис. 3, *S<sup>A</sup>* и *S<sup>B</sup>* — монотонные функции  $\tilde{L}$ . В области  $\tilde{L} > 15$  для *S<sup>A</sup>* и  $\tilde{L} > 8$  для *S<sup>B</sup>* коэффициенты диамагнитного сдвига выходят на насыщение:  $S^A = 9.2 \cdot 10^{-13}$ ,

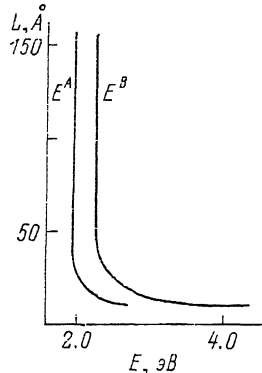


Рис. 2. Зависимости энергии образования экситонов  $E^A$  и  $E^B$  от *L*.

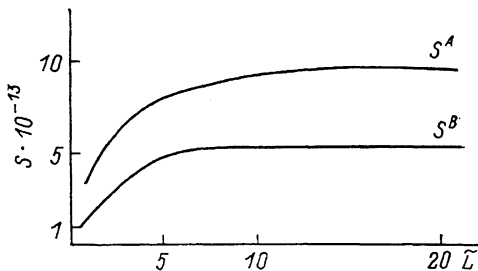


Рис. 3. Зависимости  $S^A$  и  $S^B$  от  $\tilde{L}$ .

$S^B = 5.1 \cdot 10^{-13}$  эВ·(Гс)<sup>-2</sup>. При уменьшении  $\tilde{L}$  коэффициенты  $S^A$  и  $S^B$  стремятся к своим минимальным значениям, что полностью согласуется с экспериментальными данными работы [8].

Таким образом, в работе найдены волновые функции и энергии основного экситонного состояния серий *A* и *B* кристалла MoS<sub>2</sub> при  $L \geq 10$  Å. Получена зависимость диамагнитного сдвига от толщины пленки для обеих экситонных серий. Проведенные расчеты можно использовать для изучения возбужденных состояний экситонов в пленках MoS<sub>2</sub>, которые детально изучены экспериментально в работах [6, 8]. Этим вопросам будет посвящена следующая работа.

#### Список литературы

- [1] Келдыш Л. В. // Письма в ЖЭТФ. 1979. Т. 29. № 11. С. 716—719.
- [2] Андрюшин Е. А., Силин А. П. // ФТТ. 1980. Т. 22. № 9. С. 2676—2680.
- [3] Бойчук В. И., Ницович В. М., Ткач Н. В. // ФТТ. 1980. Т. 22. № 3. С. 699—703.
- [4] Broido B. A. // Superlattices and Microstruct. 1989. V. 5. N 3. P. 471—472.
- [5] Бойчук В. И., Бильинский И. В. // УФЖ. 1990. Т. 35. № 2. С. 293—296.
- [6] Evans B. L., Young P. A. // Phys. Stat. Sol. 1968. V. 25. P. 477—485.
- [7] Consadori F., Frindt R. F. // Phys. Rev. B. Sol. State. 1970. V. 2. N 12. P. 4893—4896.
- [8] Evans B. L., Young P. A. // Proc. Roy. Soc., 1967. V. A298. P. 74—96.
- [9] Mikloz J. C., Wheeler R. C. // Phys. Rev. 1967. V. 153. N 3. P. 913—923.